

清水建設株式会社 正員 小野 定
 清水建設株式会社 正員 ○名 倉 健二
 清水建設株式会社 正員 金森洋史

1. 研究の目的

セメントの水和熱に起因する温度応力によるひびわれ（以下、温度ひびわれと称す）は、コンクリート構造物の安全性、機能性等の観点から、その発生を防止あるいは制御する必要性が認められる。特に、鉄筋コンクリート、鉄骨コンクリート等では、コンクリート内の鋼材の腐食原因となり、構造物の耐久性を低下させる一因ともなる。また貯水構造物では、温度ひびわれが漏水の主原因となって機能上影響を及ぼしている例も見受けられる。

温度ひびわれの制御について検討を行う場合、温度ひびわれをどのような状態に制御するのか、それを判断するための特性値が必要になる。しかしながら、温度ひびわれについては一般のRCのように許容最大ひびわれ幅等の特性値が明確でないために、従来の特性値が多くの場合使用されている。

一般に、ひびわれの特性値としては、幅、長さ、深さ等が代表的なものであるが、ひびわれが構造物に及ぼす影響等について考察する場合には、これらの特性値では不充分な場合が見受けられる。本研究は、温度ひびわれ特性を明確にするための数量化について考察し、さらに、数量化した温度ひびわれの特性値と各種要因との関係について考察したものである。

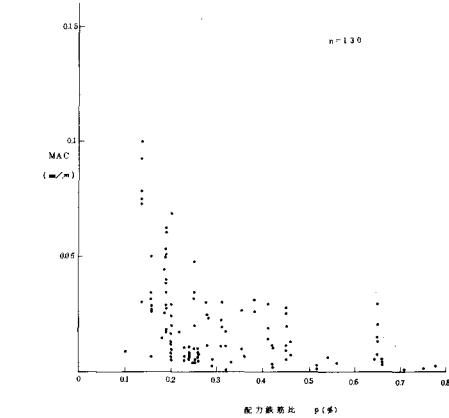
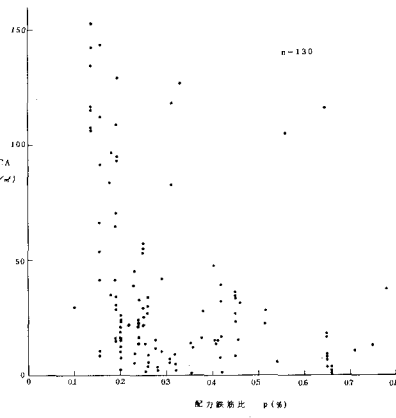
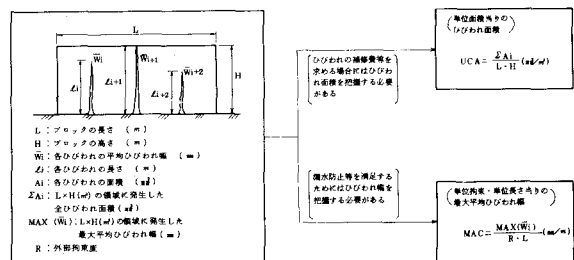
2. 温度ひびわれの数量化

マスコンクリートの温度ひびわれを制御する場合に目安となる特性としては、幅および面積が代表的なものとして考えられる。前者は、漏水、鉄筋等の腐食等に強く関係し、また、後者は、美観あるいはひびわれの補修等に強く関係するものと考えられる。

(1) ひびわれ面積の数量化^{*)}

ひびわれ面積の特性値としては、図-1に示したように、面積 $L \times H (m^2)$ のブロック内に発生した全ひびわれ面積 ($\Sigma A_i = \Sigma \bar{W}_i \times l_i$) をブロック面積で除した、単位面積当たりのひびわれ面積 (UCA) で数量化した。

(2) ひびわれ幅の数量化



ひびわれ幅の表示法としては、最大、平均等がある。一般に、温度ひびわれの場合には、外部拘束度が大きいほど平均ひびわれ幅は小さくなる傾向が認められる。今、 $\Sigma \bar{W}_i = \alpha c \Delta T L R$ (ここで、 αc :コンクリートの線膨張係数、 ΔT :温度降下量)と仮定する。

αc は構造物の形状寸法等にはそれほど影響されないこと、また ΔT は壁厚、リフト高等が同一であればコンスタントと考えられるので、 $\alpha c \Delta T = C_1$ とする。したがって、上式は、 $\Sigma \bar{W}_i = C_1 L R$ となる。

次に、ブロック長Lにn本のひびわれが発生したとすると、1本当たりの平均ひびわれ幅 \bar{W}_i を $\bar{W}_i = C_1 L R / n$ と仮定する。しかしながら、n個の平均ひびわれ幅 \bar{W}_i にはバラツキがあるので、最大の平均ひびわれ幅MAX(\bar{W}_i)を導入して次のように数量化した。

単位拘束・単位長さ当たりの最大平均ひびわれ幅(MAC)=

$$\text{MAX}(\bar{W}_i) / RL$$

(3) 温度ひびわれ特性と各種要因との関係

温度ひびわれ特性を表わす特性値として数量化した、UCAおよびMACと各種要因との単相関について検討した。表-1、図-1、および図-2に解析結果を示す。解析した要因数は31。解析に使用したデータ数はn=130である。UCAについては、短辺長、配力鉄筋比、スランプ、打込み温度、温度差($\Delta T_{s,max}$)等の単相関係数に有意性が認められ、また、MACについては、長辺長、外部拘束度、養生のパターン、壁厚等の単相関係数に有意性が認められる。

一般に、温度ひびわれの幅を制御するために鉄筋を配置する対策が採られているが、図-3からわかるように、配力鉄筋比が大きくなるとMACは双曲線的に小さくなってしまい、ひびわれ幅を制御する対策として鉄筋量を増やすことが有効であることがわかる。しかしながら、単回帰分析の結果、MACの制御対策として鉄筋量を増やす以外にも、いくつかの対策のあることが明らかになった。

3. 温度ひびわれ特性の解析

単回帰分析の結果、単相関係数に有意性が認められた要因をとり込んで、温度ひびわれ特性を統計手法により解析した。とり込んだ要因の中には、量的データと質的データとが混在しているので、数量化I類により解析した。表-2に解析結果を示す。解析の結果、UCAの制御因子としては、配力鉄筋比、コントロールジョイント、スランプ、打込み温度、 $T_{s,r,max}$ 、 $\Delta T_{s,max}$ 、および ΔT_m^t が有効であり、また、MACの制御因子としては、外部拘束度、配力鉄筋比、スランプ、打込み温度、 $T_{s,r,max}$ 、 $\Delta T_{s,max}$ 、および ΔT_m^t が有効であることが認められた。

*) 西田正之：場所打ち張出式PC鉄道橋の打継目付近に生ずるひびわれに関する研究、鉄道技術研究報告、1979年3月

表-1

番号	各要因	UCA	MAC
1	表面長 L (m)	-0.0726	-0.3455**
2	配力鉄筋比 H (%)	-0.03054	-0.3197**
3	コントロールジョイント H (m)	-0.0195	-0.3339**
4	R (外周)	0.0105	-0.2339**
5	R (内周)	0.1185	-0.2244*
6	R (高さ)	0.1160	-0.2061*
7	配力筋筋量 P (kg)	-0.3223***	-0.3034**
8	コンクリートの骨組	-0.2534***	-0.0357
9	端部の骨組	-0.0159	-0.0098
10	ヘッジメントの位置	0.4350***	0.1866*
11	スランプ (cm)	0.2306***	0.3307**
12	スランプ比 H/C (%)	-0.1305	-0.0783
13	単位セメント量 (kg/m³)	0.1329	0.2606**
14	打込み速度 Tp (℃)	0.2606***	0.3933**
15	打設時間	-0.0218***	-0.2089**
16	養生のパターン	-0.0104	-0.2559**
17	Q (℃)	-0.0104	-0.1036
18	Q (℃)	0.0005	-0.0104
19	Ts,r (℃)	0.3891***	0.0783
20	Ts,r,max (℃)	0.2045***	-0.0771
21	DTs,max (℃)	0.3292***	0.2044*
22	DAx (mm)	0.3100***	-0.0382
23	DTs (初期) (℃)	0.2824***	0.0938
24	DTs (中期) (℃)	0.3272***	0.2059*
25	DTs (最終) (℃)	0.4316***	0.2140*
26	ITC1 (初期)	-0.0199	-0.1198
27	ITC1 (中期)	-0.1927*	0.2480**
28	ITC1 (最終)	-0.0102	-0.0302
29	ITC2 (初期)	-0.1128	-0.0291
30	養生期間 (日)	0.0347	-0.0278
31	UCA (m²/m³)	1.0000	0.5782
32	MAC (m²/m³)	0.5782	1.0000
33	壁厚 W (m)	0.0326	-0.2933**

注) n=130

$$r(128.005)=0.1726$$

$$r(128.001)=0.2251$$

表-2 数量化I類による解析結果

UCA (m²/m³)	MAC (m²/m³)
x_1 短辺長 H (m)	長辺長 L (m)
x_2 配力鉄筋比 H (%)	短辺長 H (m)
x_3 コントロールジョイント 高:1, 幅:0	外部拘束度 (R) (kg)
x_4 スランプ (cm)	配力鉄筋比 P (%)
x_5 打込み速度 Tp (℃)	スランプ (cm)
x_6 打設時間 初:1, 終:0.0	単位セメント量 C (kg/m³)
x_7 x_8 初:1, 終:0.0	打設時間 初:1, 終:0.0
x_9 x_{10} 初:1, 終:0.0	MC1 初:1, 終:0.0
x_{11} 表面温度の最高値 Ts,r,max (℃)	x_{12} 高:1, 終:0
x_{13} 内部拘束度大さきの初期と最終の差値 DTs,max (mm)	高:1, 終:0.0
x_{14} 温度降下 (初期) ΔT_s (℃)	高:1, 終:0.0

UCA=-4.4440 - 0.52*x ₁ - 1.908*x ₂ - 5.472*x ₃ + 3.52*x ₄ + 0.17*x ₅ + 0.81*x ₆ - 2.630*x ₇ - 1.837*x ₈ + 0.82*x ₉ + 1.88*x ₁₀ + 0.78*x ₁₁	**
重相関係数 0.718	F(11, 118; 0.05)=1.87
寄与率 0.515	F(11, 118; 0.01)=2.42
F値 1.141**	t(118, 0.05)=1.981
サンプル数 130	t(118, 0.01)=2.618
自由度 118	
MAC=-5.62×10 ⁻⁴ - 2.19×10 ⁻⁵ *x ₁ - 5.48×10 ⁻⁴ *x ₂ - 1.72×10 ⁻⁴ *x ₃ - 2.44×10 ⁻⁵ *x ₄ + 1.54×10 ⁻⁵ *x ₅ + 7.00×10 ⁻⁵ *x ₆ + 8.13×10 ⁻⁵ *x ₇ - 3.71×10 ⁻⁵ *x ₈ - 6.21×10 ⁻⁵ *x ₉ + 3.31×10 ⁻⁵ *x ₁₀ - 3.18×10 ⁻⁵ *x ₁₁	
重相関係数 0.592	F(11, 118; 0.05)=1.87
寄与率 0.351	F(11, 118; 0.01)=2.42
F値 5.79**	t(118, 0.05)=1.981
サンプル数 130	t(118, 0.01)=2.618
自由度 118	